



## شبیه سازی فرآیند سوراخ کاری لیزری شیشه به روش اجزاء محدود و انتخاب توزیع گویین لیزر مناسب

احسان گل چین بیدگلی<sup>۱\*</sup>، محمود مرادی<sup>۲</sup>، سلمان شمسایی<sup>۲</sup>

- ۱- دانشجوی کارشناسی ارشد، مهندسی مکانیک، دانشگاه ملایر، ملایر
- ۲- استادیار، مهندسی مکانیک، دانشگاه ملایر، ملایر
- ۳- دانشجوی دکترا، مهندسی مکانیک، دانشگاه صنعتی خواجه نصیرالدین طوسی، تهران  
ملایر، صنعتی پستی ۹۵۷۹۱ - ۹۵۷۶۳، ehsan.golchin@stu.malayeru.ac.ir

### چکیده

امروزه یکی از نیازهای اساسی صنعت، ایجاد سوراخ هایی در ابعاد میکرون است. از این رو لیزر، یک ابزار بسیار مفید و کارآمد در این زمینه خواهد بود. سوراخ کاری لیزری نیز همانند سایر فرآیندهای صنعتی فناوراند پیش مینی و شبیه سازی است تا بتوان از میوب احتمالی و خسارت های ناشی از آن جلوگیری کرد. در این تحقیق، مطالعه روی ماده GG17 glass (یک نوع شبیه سازی خاص) به ضخامت ۱۰ میلی متر انجام شده است. در مقاله پیش رو از روش اجزاء محدود و بطور خاص از نرم افزار Abaqus جهت شبیه سازی این فرآیند انجام شده است. جهت صحبت سنجی نتایج حاصل از شبیه سازی با نتایج حاصل از یک فرآیند آزمایشگاهی مقایسه شده است. لیزر مورد استفاده از نوع CO<sub>2</sub> با خروجی پیوسته و توان ۱۲۲۵ وات و طول موج ۱۰۶۰ نانومتر بوده است. نرم افزارهای اجزاء محدود به تهیی قابلیت شبیه سازی لیزر را تذبذب نمودند. از این رو منبع حرارتی (لیزر) بوسیله گنوپی شبیه سازی شده اند. در این مقاله از مده نوع توزیع گویین جهت شبیه سازی لیزر استفاده شده است. مهام ترین خروجی شبیه سازی، عمق سوراخ است که با استفاده از آن می توان به سرعت دستورات سوراخ کاری نیز دست یافته. این نتایج با داده های آزمایشگاهی مورد مقایسه قرار گرفته اند. نتایج بدست آمده حاکی از آن است که نتایج دو مورد از شبیه سازی ها با نتایج آزمایشگاهی تطابق منداری دارد. بنابراین توزیع گویین مناسب برای شبیه سازی فرآیند سوراخ کاری لیزری بدست آمد.

**کلید واژه:** سوراخ کاری لیزری، شبیه سازی، اجزاء محدود، شبیه

## Laser drilling simulation of glass by using finite element method and selecting the suitable Gaussian distribution

Ehsan Golchin<sup>1\*</sup>, Mahmoud Moradi<sup>1</sup>, Salman Shamsaei<sup>2</sup>

1. Department of Mechanical engineering, Malayer University, Malayer, Iran

2. Department of Mechanical engineering, Khajeh Nasir Toosi University of technology, Tehran, Iran  
P.O.B. 65719-95863, Malayer, Iran, ehsan.golchin@stu.malayeru.ac.ir

### ABSTRACT

One of the basic industry requirements is creating the holes in micron sizes. The laser is a very useful tool for this purpose. Laser drilling (like other industrial process) needs simulation to avoid possible problems. This study is conducted on 10mm thick GG17 glass. In this paper, the finite element method (ABAQUS software) used for the simulation. For verification, the simulation results and experimental results were compared. The laser employed in this work was a continuous wave Co<sub>2</sub> laser with output power of 1325 w and 1060 nm wavelength. Finite element softwares do not have the ability to simulate the laser heat source. Therefore heat source of laser is coded. Three types of Gaussian distribution have been used to simulate the laser heat source. The most important result of simulation is depth of holes, whereby the drilling speed is achieved. These results and experimental results were compared. Results of two simulation methods are consistent with experimental results. Then the suitable Gaussian distribution for laser drilling simulation was selected.

**Keywords:** Finite Element, Glass, Laser drilling, Simulation.

کاری، برش، شیار زنی و فرز کاری کاربرد دارند که هر کدام دارای مواد دار ریز متفاوتی هستند [۲]. ماشین کاری به وسیله لیزر امروزه در حال گسترش است. بهصورتی که لیزر می تواند با ابزارهای سنتی نیز ترکیب شده و بازدهی آنها را بیشتر کند [۲].

عامل ایجاد سوراخ در سوراخ کاری لیزری، یک شار حرارتی بسیار قوی است. این شار حرارتی باعث تغییر دمای بسیار شدید در جسم خواهد شد. هنگامی که دمای ماده از دمای نقطه تبخیر عبور می کند ذرات جسم جدا شده و سوراخ ایجاد می شود. اهمیت مدل کردن و شبیه سازی این فرآیند در طی چند دهه ای اخیر بسیار افزایش یافته است. شبیه سازی امروزه به عنوان ابزار مهمی برای توسعه فرآیندهای تولید شناخته شده است. کاربرد روش های شبیه

### ۱ مقدمه

امروزه بدليل تولید قطعات با شکل های پیچیده با اندازه های غیرمعمول، نیاز به مهندسی پیشرفتی مواد پیش از پیش احساس می شود. از روش های تولید نوین می توان به روش های تخلیه الکتریکی، ماشین کاری با اشعه الکترون، ماشین کاری بوسیله پلاسمما، ماشین کاری الکتروشیمیابی، ماشین کاری اولتراسونیک، ماشین کاری بوسیله جت و ماشین کاری لیزری اشاره کرد [۱]. یکی از اساسی ترین نیازهای امروزه صنعت، ایجاد سوراخ هایی با قطر و عمق کم با دقت در ابعاد میکرون و خطای کم (مانند پره های توربین) می باشد که با روش های سنتی رایج، قابل اجرا نخواهد بود. در ماشین کاری های لیزری اکثرا از لیزر های Nd:YAG و Co<sub>2</sub> استفاده می شود که در صنایع جوش کاری، سوراخ

برای ارجاع به این مقاله از عبارت ذیل استفاده نمایید:

E. Golchin, M. Moradi, S. Shamsaei, Laser drilling simulation of glass by using finite element method and selecting the suitable Gaussian distribution, *Modares Mechanical Engineering, Proceedings of the Advanced Machining and Machine Tools Conference*, Vol. 15, No. 13, pp. 416-420, 2015 (in Persian)

www.SID.ir

انسیس و نتایج آزمایشگاهی سوراخ‌کاری لیزری بر روی شبیه پرداخته شده است. لیزر مورد استفاده در این تحقیق از نوع  $CO_2$  بوده است در مورد عمق سوراخ در زمان‌های مختلف می‌توان گفت که نتایج یکسان می‌باشد. در مورد سرعت سوراخ‌کاری طی ۲ میلی‌ثانیه اول، نتایج با یکدیگر همخوانی دارند اما از زمان ۲۰ تا ۶ میلی‌ثانیه نتایج با یکدیگر اختلاف دارند.

در این پژوهش سه نوع شبیه‌سازی با توزیع‌های گوسین مختلف انجام شده است و نتایج با یک فرآیند آزمایشگاهی مورد مقایسه قرار خواهد گرفت. برای هر نوع شبیه‌سازی با توزیع گوسین مورد نظر ۱۲ مرتبه در تنظیمات مختلف اجرا صورت پذیرفت. سپس پارامتر عمق سوراخ به عنوان خروجی فرآیند، انتخاب و روی آن بحث شده است. با استفاده از عمق سوراخ و زمان سوراخ‌کاری، پارامتر سرعت سوراخ‌کاری نیز بدست آمد که مورد مطالعه قرار گرفت. در نهایت نیز یک توزیع گوسین به عنوان توزیع برتر انتخاب می‌شود که می‌تواند برای سایر شبیه‌سازی‌ها نیز کاربرد داشته باشد.

## ۲- جزئیات ماده

جهت انجام فرآیند آزمایشگاهی و شبیه‌سازی از ماده glass GG17 (یک برنز شیشه مربوط به کشور چین) به ضخامت ۰.۱ میلی‌متر استفاده شده است که خواص مکانیکی و حرارتی آن در جدول شماره ۱ آمده است. در جدول شماره ۱،  $\mu$  دانسته،  $T_m$  دمای نقطه ذوب و  $T_v$  دمای نقطه تغییر می‌باشد.

## ۳- شرح آزمایش

تحقیقات آزمایشگاهی در مرجع شماره [۱۱] صورت پذیرفته است که در آن آزمایش‌ها لیزر مورد استفاده از نوع  $CO_2$  با خروجی پیوسته و توان ۱۳۲۵ وات و طول موج ۱۰۶۰ نانومتر بوده است. مشخصات دستگاه لیزر مورد استفاده در جدول ۲ آمده است. ضمناً از گاز آرگون هم به عنوان گاز محافظ استفاده شده است. به طور کلی ۱۲ مورد آزمایش انجام شده است که در کلیه فرآیندها مقدار توان ثابت و برابر ۱۳۲۵ وات بوده است. پارامتر متغیر در آزمایش‌ها، زمان سوراخ‌کاری بوده است که در آزمایش اول برابر ۵ میلی‌ثانیه و با افزایش ۵ میلی‌ثانیه‌ای در آزمایش‌های بعدی، در آزمایش آخر به ۶ میلی‌ثانیه رسیده است.

## ۴- شبیه‌سازی

فرضیاتی که در این شبیه‌سازی لحاظ گردیده است به شرح زیر می‌باشد:  
۱- مقطع پرتو لیزر و سوراخ، بصورت دایروی هستند، لذا شبیه‌سازی بصورت دو بعدی و متقابل محوری انجام می‌شود که دلیل آن در قسمت‌های بعد مورد بررسی قرار خواهد گرفت.

۲- بدليل تغییر دمای شدید در طول فرآیند، لازم است که خواص حرارتی ماده بصورت متناسب با دما در نظر گرفته شوند.

۳- در این شبیه‌سازی از تولید پلاسما و انتقال حرارت در حوضچه مذاب صرف نظر شده است.

۴- ماده بصورت همگن و یکنواخت در نظر گرفته می‌شود.

۵- از تولید شوک‌های حرارتی و اعوجاج در طی فرآیند صرف‌نظر می‌شود.

۶- از شبیه‌سازی گاز محافظ صرف‌نظر شده است.

۷- جهت شبیه‌سازی منابع حرارتی از سه نوع توزیع گوسین استفاده شده است که در ادامه توضیح داده خواهد شد.

نمای کلی فرآیند سوراخ‌کاری لیزر در شکل شماره ۱ نشان داده شده است.

سازی در صنایع مهم مثل صنایع هسته‌ای و صنایع هوایی و غیره که در آن‌ها سلامت قطعات تولید شده از اهمیت بالایی برخوردار است، دارای مزایای زیادی می‌باشد [۴]. پس هرگونه خطأ در محاسبه پارامترهای مانند قدرت لیزر، شاعر پرتو لیزر، زمان روشی پالس و عرض پالس موجب انهدام ماده و ضررها اقتصادی زیادی به همراه خواهد داشت. لذا یکی از مواردی که می‌تواند به این امر کمک کند، شبیه‌سازی سوراخ‌کاری لیزری است. شبیه‌سازی، در پیش‌بینی خروجی‌های فرآیند که اصلی ترین آن‌ها عمق و قطر سوراخ می‌باشد نقش مهمی ایفا خواهد کرد. از دیگر مواردی که می‌توان بوسیله شبیه‌سازی پیش‌بینی گردند محاسبه تاریخچه گرمایی و تشکیلاتی پسماند ناشی از فرآیند سوراخ‌کاری لیزری خواهد بود.

پرندوش و همکاران [۵] پژوهشی تحت عنوان نگرشی بر مدل‌سازی و شبیه‌سازی ماشین‌کاری لیزری انجام دادند که به بررسی معادلات جذب افرایندهای سوراخ‌کاری، برش‌کاری، تراش‌کاری و فرزکاری پرداخته‌اند و درنهایت مدل‌های شبکه‌های عصبی و سیستم‌های فازی برای فرآیندهای لیزری ارائه نموده‌اند. گش و همکاران [۶] تحقیقی تحت عنوان مدلی برای سوراخ‌کاری لیزری انجام دادند که در آن به ارائه معادلات میدانی جریان سیال و انتقال حرارت پرداخته شده است. سپس ۱۲ مورد شبیه‌سازی صورت گرفته است که در آن‌ها چگالی توان، زمان روشی پالس، زمان تأخیر پالس تغییر یافته است و نتایج آن‌ها ارائه شده است. اوتو و همکاران [۶] پژوهشی تحت عنوان پیش‌بسوی یک مدل عددی عمومی برای فرآیندهای لیزری انجام داده اند که ابتدا به نحوه توزیع لیزر روی سطح قطعه کار پرداخته شده است. سپس به شبیه‌سازی فرآیندهای جوش‌کاری، لحیم‌کاری، سوراخ‌کاری، برش‌کاری و فرمدهی پرداخته شده است و در مورد نحوه حذف یا تغییر شکل ماده در طی فرآیند بحث شده است. زانگ و همکاران [۷] تحقیقی با نام مدل‌سازی و شبیه‌سازی سوراخ‌کاری لیزری با لیزر پالس بلند انجام دادند که به بیان معادلات میدانی و سپس به شبیه‌سازی پرداخته شده است و نتایج سوراخ‌کاری در زمان‌های مختلف ارائه شده است. سپس به رابطه بین چگالی قدرت و سرعت خروج مواد پرداخته شده است و دریافت‌های که رابطه مستقیمی بین این دو برقرار است. همچنین به رابطه بین سرعت سوراخ‌کاری و طول پالس پرداخته شده و بیان شده است که بین آن‌ها رابطه عکس وجود دارد. یان و همکاران [۸] پژوهشی با عنوان مطالعه آزمایشگاهی و عددی سوراخ‌کاری لیزری چندپالسی الومینیوم انجام دادند. بعد از شبیه‌سازی سوراخ‌کاری لیزری، مقایسه قطر ورودی و قطر خروجی برای توان‌ها و پالس‌های مختلف برای حالت‌های شبیه‌سازی شده و آزمایشگاهی انجام شده است که در نهایت ثابت می‌شود که مدل شبیه‌سازی شده، قطر ورودی و خروجی کمتری را نسبت به نتایج آزمایشگاهی پیش‌بینی می‌کند. هانون و همکاران [۹] پژوهشی با نام تحقیق آزمایشگاهی و تئوری سوراخ‌کاری سرامیک الومینیوم انجام شده است که سوراخ‌کاری بوسیله لیزر Nd:YAG انجام شده است. براساس نتایج این تحقیق ثابت می‌شود که از توان ۴ کیلووات تا ۷ کیلووات عمق سوراخ‌ها در حالت واقعی کمتر از حالت شبیه‌سازی شده می‌باشد و از توان ۷ کیلووات تا ۱۰ کیلووات داده‌ها تقریباً برهم منطبق هستند. کولینس و همکاران [۱۰] پژوهشی با عنوان یک مدل ساده برای سوراخ‌کاری لیزری انجام دادند که به بیان معادلات انتقال حرارت و مکانیکی حاکم بر فرآیند پرداخته شده است. زانگ و همکاران [۱۱] تحقیقی با عنوان مطالعه آزمایشگاهی و شبیه‌سازی دینامیک سوراخ کلیدی در طی فرآیند سوراخ‌کاری لیزری انجام داده اند که به مقایسه نتایج حاصل از شبیه‌سازی بوسیله نرم‌افزار

مجموعه‌های این نرم‌افزار، سایروتین دی فلاکس<sup>۳</sup> می‌باشد که جهت شبیه‌سازی منابع حرارتی غیریکنواخت کاربرد دارد که در این مقاله از آن استفاده شده است. این کدنویسی به زبان فرترن انجام می‌شود. از نزدیک‌ترین روابط ریاضی، جهت شبیه‌سازی شارحرارتی لیزر، توزیع گوسین می‌باشد. در این مقاله از سه نوع توزیع گوسین مختلف جهت شبیه‌سازی استفاده شده است که با یکدیگر مورد مقایسه قرار گرفته‌اند. این سه توزیع در ادامه آمده‌اند.

در شبیه‌سازی اول از رابطه (۱) استفاده شده است [۱۱].

$$I(r, z) = \frac{2AP}{\pi\omega(z)^2} \exp\left(-2\frac{r^2}{\omega(z)^2}\right) \quad (1)$$

$$\omega(z) = \omega_0 \sqrt{1 + \left(\frac{z\omega_m}{f\omega_0}\right)^2}$$

در رابطه (۱) مقدار  $P$  توان لیزر،  $A$  ضریب جذب،  $\omega_m$  مقدار شاعع در موقعیت لنز،  $\omega_0$  شاعع نقطه کانونی،  $f$  فاصله شاععی از محور لیزر،  $z$  فاصله عمودی از نقطه کانونی لیزر و  $r$  فاصله کانونی لیزر می‌باشد.

در دومین شبیه‌سازی از رابطه (۲) استفاده شده است [۱۲].

$$Q_{in} = \frac{2AP}{\pi R^2} \exp\left(-2\frac{r^2}{R^2}\right) \quad (2)$$

$$R = \frac{d}{2} \left[ 1 + \left( 4 \frac{M^2 L(z+f)}{\pi d^2} \right) \right]$$

در رابطه (۲) مقدار  $A$  ضریب جذب،  $P$  توان لیزر،  $R$  شاعع موثر لیزر،  $d$  شاعع پرتو لیزر،  $L$  طول موج لیزر،  $M$  قطر پرتو لیزر و  $f$  فاصله کانونی لنز خواهد بود.

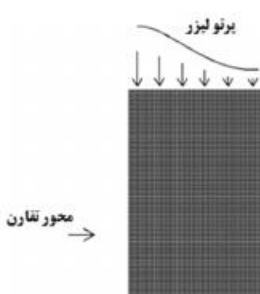
در شبیه‌سازی سوم هم رابطه (۳) مورد استفاده قرار گرفته است [۷].

$$q(r) = \frac{\eta Q}{\pi r_q^2} \exp\left(-\frac{r^2}{r_q^2}\right) \quad (3)$$

در رابطه (۳) مقدار  $Q$  توان لیزر،  $r_q$  شاعع پرتو لیزر،  $r$  فاصله شاععی از محور پرتو لیزر و  $A$  مقدار ضریب جذب است.

در فرآیند سوراخ کاری لیزری مقطع لیزر و سوراخ دایروی هستند لذا جهت شبیه‌سازی این فرآیند از هر دو مدل ۳ بعدی و ۲ بعدی می‌توان استفاده کرد که هر کدام دارای مزیت‌های خاص خود هستند. اما مهم‌ترین مزیت مدل ۲ بعدی به ۳ بعدی کاهش المان‌ها، کاهش زمان حل مساله و کاهش هزینه‌ها است که در این مقاله هم از مدل دو بعدی متقارن محوری استفاده شده است.

فلاکس حرارتی مورد نیاز جهت سوراخ کاری به سطح بالای مدل اعمال می‌شود. شکل شماره ۲ نحوه اعمال شارحرارتی به مدل را نشان می‌دهد. در مدل ۲ بعدی متقارن محوری، ابعاد برابر ۱ میلی‌متر (ضخامت) در ۴ میلی‌متر انتخاب شده‌اند. نوع المان استفاده شده از نوع DCAX4 بوده که یک المان ۴ گرمایی و بصورت متقارن محوری و جهت تحلیل‌های حرارتی مورد استفاده قرار می‌گیرد.

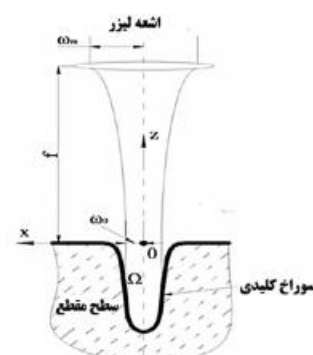


شکل ۲ مدل دو بعدی متقارن محوری و اعمال شارحرارتی

| جدول ۱ مشخصات مکانیکی و حرارتی ماده                                         |                           |         |                     |
|-----------------------------------------------------------------------------|---------------------------|---------|---------------------|
| $m = 2230 \text{ kg/m}^3$ , $T_m = 1093 \text{ K}$ , $T_v = 1768 \text{ K}$ |                           |         |                     |
| دما (K)                                                                     | ضریب انتقال حرارت (W/m/K) | دما (K) | گرمای ویژه (J/kg/K) |
| ۲۴۲                                                                         | ۱/۰-۸۶۸                   | ۲۷۲     | ۷۱۷                 |
| ۴۲۲                                                                         | ۱/۱۶۵۸                    | ۲۷۲     | ۸-۷/۴               |
| ۴۹۳                                                                         | ۱/۲۲-۳                    | ۴۷۲     | ۸۷۷/۳               |
| ۵۲۲                                                                         | ۱/۲۲۷۶                    | ۵۷۲     | ۹۳۲/۱               |
| ۶۷۱                                                                         | ۱/۶۵۱۱                    | ۶۷۲     | ۹۷۸/۵               |
| ۷۱۸                                                                         | ۱/۷۹۲۸                    | ۷۷۲     | ۱-۱۶/۲              |
| ۷۶۸                                                                         | ۱/۹۷۷۷                    | ۸۷۲     | ۱-۴۸/۲              |
| ۸۹۶                                                                         | ۲/۲۳۹۶                    | ۹۷۲     | ۱-۲۵/۵              |
| ۹۷۲                                                                         | ۲/۵۶-۳                    | ۱-۷۲    | ۱-۹۹/۲              |
| ۱۰۷۲                                                                        | ۲/۸۴۶                     | ۱۱۷۲    | ۱۱۱۹/۸              |
| ۱۱۷۲                                                                        | ۲/۱۲۲                     | ۱۲۷۲    | ۱۱۲۸                |
| ۱۲۷۲                                                                        | ۲/۴۸۶                     | ۱۲۷۲    | ۱۱۵۴/۱              |
| ۱۲۷۲                                                                        | ۲/۷-۶                     | ۱۴۷۲    | ۱۱۶۸/۶              |
| ۱۴۷۲                                                                        | ۲/۹۹۲                     | ۱۵۷۲    | ۱۱۸۱/۹              |
| ۱۵۷۲                                                                        | ۴/۲۸-۱                    |         |                     |

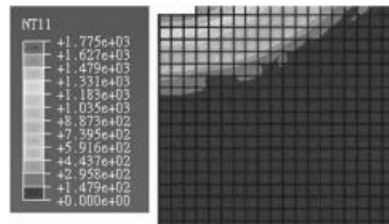
#### جدول ۲ مشخصات لیزر مورد استفاده

| نوع / مقدار             | نوع لیزر      |
|-------------------------|---------------|
| پیوسته                  | $\text{CO}_2$ |
| حالت موج                | توان          |
| توان                    | ۱۲۲۵ وات      |
| قطر پرتو در محل لنز     | ۰.۳ میلی‌متر  |
| قطر پرتو در نقطه کانونی | ۰.۵ میلی‌متر  |
| فاصله کانونی            | ۱۷۸ میلی‌متر  |
| طول موج                 | ۱.۶ نانومتر   |
| $M^2$                   | ۱/۰.۵         |
| گاز محافظ               | آرگون         |

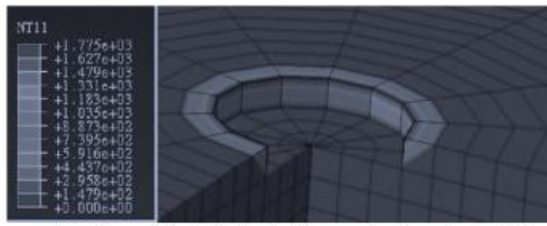


شکل ۱ نمای کلی فرآیند سوراخ کاری لیزری [۱۱]

یکی از اصلی‌ترین موارد در شبیه‌سازی فرآیندهای لیزری، شبیه‌سازی منبع حرارتی می‌باشد. در محیط گرافیکی نرم‌افزارهای اجزاء محدود، قابلیت شبیه‌سازی منبع حرارتی وجود ندارد، لذا ناجار به کدنویسی منبع حرارتی هستیم. در این مطالعه از نرم‌افزار آباکوس<sup>۱</sup> استفاده شده است. یکی از زیر-



شکل ۵ مدل پس از اعمال مرگ المان



شکل ۶ مدل دوران یافته پس از اعمال مرگ المان (اندازه هر المان برابر ۰.۵ میلی متر می باشد)

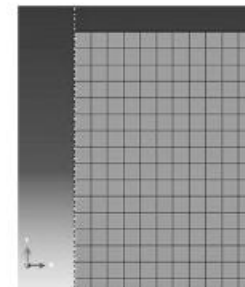
یک دیگر از مهمترین مباحثی که مطرح می‌باشد، مساله مرگ المان است. مرگ المان در این شبیه‌سازی بدان معنا است که المان‌هایی که دمایشان از دمای تبخیر بیشتر شده باید حذف شوند. مساله مرگ المان نیز در محیط گرافیکی نرم‌افزار قابل اعمال نبوده و باید از قابلیت ماکرونویسی نرم‌افزار استفاده کنیم. ماکرونویسی، نوشتن دستورات نرم‌افزاری بصورت دستی است. این قابلیت، در مسائل خاص و حالاتی که محیط گرافیکی توانایی اعمال یک دستور را ندارد، کاربرد دارد. از مهم‌ترین کاربردهای ماکرونویسی می‌توان به ایجاد نولد و مرگ المان اشاره کرد.

شکل شماره ۳ نمونه مشبتدی شده را نشان می‌دهد. نمونه بصورت متقارن محوری است.

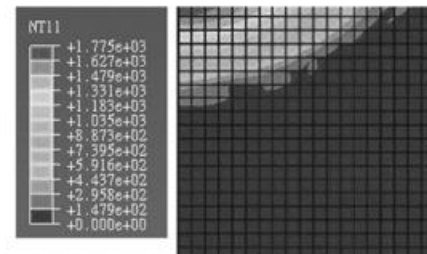
نکته بسیار مهمی که در مسائل اجزاء محدود مطرح است، اندازه المان‌ها می‌باشد. اندازه المان‌ها باید به گونه‌ای باشد که زمان حل مساله به کمترین مقدار خود برسد و دقیق‌ترین جواب را بدهد. در این شبیه‌سازی نیز اندازه المان‌ها باید به گونه‌ای انتخاب می‌شوند که علاوه‌بر کم کردن زمان حل مساله، دما در کل المان یکسان باشد. به این دلیل که اگر المان‌ها بزرگ‌تر از مقدار بهینه باشند ممکن است دمای قسمتی از یک المان از نقطه تبخیر تجاوز کرده و دمای قسمتی کمتر از نقطه تبخیر باشد و محاسبه عمق سوراخ‌ها با خطأ مواجه شود. روش آزمون و خطأ روش مناسبی برای بدست آوردن اندازه بهینه المان‌ها است که در این مقاله هم از آن استفاده شده است. در شبیه‌سازی‌هایی که در این مقاله انجام شده است، اندازه المان‌ها برابر ۰.۵ میلی‌متر می‌باشد. شکل شماره ۴ قسمتی از نمونه را نشان می‌دهد که تحت تأثیر فلاکس حرارتی می‌باشد و دمای نقاط مختلف نیز نشان داده شده است.

شکل شماره ۵، قسمتی از نمونه را بعد از اعمال مرگ المان نشان می‌دهد. المان‌هایی که دارای دمای بیشتر از نقطه تبخیر بودند، حذف شده‌اند.

در شکل شماره ۶، تصویر دوران یافته مدل به میران ۲۷ درجه پس از اعمال مرگ المان، نشان داده شده است. در این شکل عمق و قطر سوراخ به خوبی مشخص می‌باشد.



شکل ۳ مدل مشبتدی شده



شکل ۴ مدل تحت بار حرارتی (پس از گذشت ۲ میلی ثانیه از زمان شروع فرآیند)

جدول ۳ مقایسه نتایج آزمایشگاهی و شبیه‌سازی

|         | نتایج آزمایشگاهی | شبیه سازی ۱ | شبیه سازی ۲ | شبیه سازی ۳ |
|---------|------------------|-------------|-------------|-------------|
| تاریخ   | تاریخ            | تاریخ       | تاریخ       | تاریخ       |
| (mm/ms) | (mm/ms)          | (mm/ms)     | (mm/ms)     | (mm/ms)     |
| -/۲۴۰   | -/۲۰۰            | -/۲۲۷       | -/۶۲۵       | -/۲۲۴       |
| -/۳۰۰   | -/۲۰۰            | -/۲۲۵       | -/۲۰۰       | -/۲۰۵       |
| -/۲۶۵   | -/۸۹۵            | -/۲۸۶       | -/۴۴۵       | -/۲۸۲       |
| -/۲۲۴   | -/۶۸۵            | -/۲۵۰       | -/۰۰۰       | -/۲۶۵       |
| -/۲۲۲   | -/۵۶۵            | -/۲۴۰       | -/۰۰۵       | -/۲۲۵       |
| -/۲۰۵   | -/۶/۱۵۵          | -/۲۰۵       | -/۶/۱۵۵     | -/۲۰۵       |
| -/۱۹۲   | -/۶/۷۲۵          | -/۲۰۰       | -/۲۰۰       | -/۲۰۰       |
| -/۱۸۲   | -/۷/۱۱۵          | -/۲۰۰       | -/۷/۱۱۵     | -/۷/۱۱۵     |
| -/۱۷۵   | -/۷/۲۸۵          | -/۱۹۴       | -/۷/۷۷۵     | -/۱۹۱       |
| -/۱۷۲   | -/۷/۹۰           | -/۱۸۲       | -/۸/۲۷۵     | -/۱۸۲       |
| -/۱۶۲   | -/۸/۱۷۲          | -/۸/۰۲۵     | -/۱/۷۱      | -/۱/۷۱      |
| -/۱۶۵   | -/۸/۵۶           | -/۸/۰۰۵     | -/۱/۶۲      | -/۱/۶۲      |
| -/۱۵۲   | -/۹/۲۱۵          | -/۹/۰۰۵     | -/۱/۵۸      | -/۱/۵۸      |
| -/۱۵۵   | -/۹/۴۹           | -/۹/۰۰۵     | -/۱/۵۸      | -/۱/۵۸      |
| -/۱۵۲   | -/۹/۲۱۵          | -/۹/۰۰۵     | -/۱/۵۸      | -/۱/۵۸      |

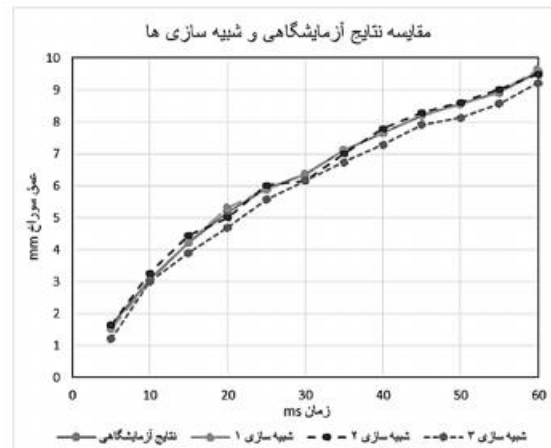
۳ سرعت سوراخ کاری در شبیه‌سازی‌های ۱ و ۲ تا زمان ۳۰ میلی‌ثانیه دارای توسان بوده و از زمان ۳۰ میلی‌ثانیه به بعد می‌توان گفت که با نتایج آزمایشگاهی تطابق دارد.

۴ سرعت سوراخ کاری در شبیه‌سازی ۳ در کلیه زمان‌ها پایین‌تر از نتایج آزمایشگاهی است.

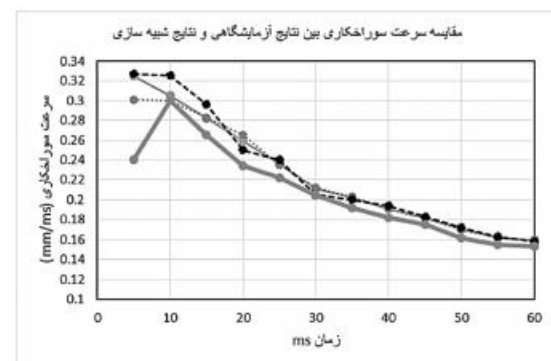
۵ شاعع موثر لیزر در عمق‌های مختلف و تابعیت توزیع از تمامی پارامترهای لیزر، نقش بسیار مهمی در معادلات شبیه‌سازی ایفا می‌کند. از این‌رو می‌توان از رابطه (۲) جهت شبیه‌سازی فرآیند سوراخ کاری لیزری استفاده کرد.

#### ۷- مراجع

- [1] Ran K. Ganesh, Wallace W. Bowley, Robert R. Bellantone, Yukap Hahn, A Model for Laser Hole Drilling in Metals, *Journal Of Computational Physics*, Vol. 125, pp. 161- 176, 1996.
- [2] Avanish Kumar Dubey, Vinod Yadava, Laser beam machining—A review, *International Journal of Machine Tools and Manufacture*, Vol. 48, No. 6, pp. 609-628, 2008.
- [3] Mahmoud Moradi, Majid Ghoreishi, Jan Frostevarg, Alexander F. H.Kaplan, An investigation on stability of laser hybrid arc welding, *Optics and Lasers in Engineering*, Vol. 51, pp. 135-145, 2011.
- [4] A. Rahmani, M. Moradi, M. Ghoreishi, Evaluation Of Temperature History in Laser-Tig Welding, in *The 2nd National Mechanical Engineering Conference*, Shiraz, Iran, 2012. (in persian)
- [5] Pedram Parandoush, Altab Hossain, A review of modeling and simulation of laser beam machining, *International Journal of Machine Tools and Manufacture*, Vol. 85, pp. 135- 145, 2014.
- [6] Andreas Otto, Michael Schmidt, Towards a universal numerical simulation model for laser material processing, *Physics Procedia*, Vol. 5, Part A, pp. 35-46, 2010.
- [7] Yiming Zhang, Zhonghua Shen, Xiaowu Ni, Modeling and simulation on long pulse laser drilling processing, *International Journal of Heat and Mass Transfer*, Vol. 73, pp. 429-437, 2014.
- [8] Yinzhou Yan, Lingfei Ji, Yong Bao, Yijian Jiang, An experimental and numerical study on laser percussion drilling of thick-section alumina, *Journal of Materials Processing Technology*, Vol. 212, No. 6, pp. 1257-1270, 2012.
- [9] M.M. Hanon, E. Akman, B. Genç Oztoprak, M. Güneş, Z.A. Taha, K.J. Hajim, E. Karac, O. Gundogdu, A. Demir, Experimental and theoretical investigation of the drilling of alumina ceramic using Nd:YAG pulsed laser, *Optics & Laser Technology*, Vol. 44, No.4 ,pp. 913-922, 2012.
- [10] Jeb Collins, Pierre Gremaud, A simple model for laser drilling, *Mathematics and Computers in Simulation*, Vol. 81, No . 8, pp. 1541-1552, 2011.
- [11] Yi Zhang, Shichun Li, Genyu Chen, Jyoti Mazumder, Experimental observation and simulation of keyhole dynamics during laser drilling, *Optics & Laser Technology*, Vol.48,pp. 405-414, 2013.
- [12] Sanjay Mishra, Vino D'yada, Modeling and optimization of laser beam percussion drilling of nickel-based superalloy sheet using Nd:YAG laser, *Optics and Lasers inEngineering*, Vol.51 ,PP. 681-695, 2013.



شکل ۷ مقایسه عمق سوراخ‌های تابع آزمایشگاهی و شبیه‌سازی‌ها با سه نوع توزیع متفاوت



شکل ۸ مقایسه سرعت سوراخ کاری تابع آزمایشگاهی و شبیه‌سازی‌ها با سه نوع توزیع متفاوت

در شبیه‌سازی ۳، عمق سوراخ‌ها در همه حالات کمتر از نتایج آزمایشگاهی می‌باشد و به تابعیت از آن، سرعت سوراخ کاری نیز در همه حالات کمتر از حالات آزمایشگاهی است. علت این امر را می‌توان این دانست که توزیع گوسین بدکار رفته در این شبیه‌سازی، یک بعدی بوده و مقدار چگالی لیزر فقط در راستای محور  $x$  متغیر بوده و در راستای  $y$  ثابت است. پس دوبعدی بودن رابطه لیزر، یک عامل بسیار مهم در توزیع صحیح چگالی لیزر می‌باشد که حتماً در شبیه‌سازی‌های لیزری باید لحاظ گردد. رابطه (۱) در برگیرنده تمامی پارامترهای متغیر لیزر تبوده که یک نقطه ضعف مهم برای این رابطه محسوب می‌شود. به عنوان مثال این رابطه تابع طول موج تبوده و با تغییر طول موج دستگاه لیزر، تفاوتی در نتایج ایجاد نخواهد شد. ولی رابطه (۲) شامل تمامی پارامترهای متغیر لیزر بوده و می‌توان از آن در شبیه‌سازی و پیش‌بینی فرآیند سوراخ کاری لیزری استفاده کرد.

#### ۶ نتیجه‌گیری

۱ عمق سوراخ‌ها در شبیه‌سازی‌های ۱ و ۲ همخوانی نسبتاً مناسبی با نتایج آزمایشگاهی دارد.

۲ در شبیه‌سازی ۳ عمق سوراخ‌ها کمتر از حالات آزمایشگاهی است و می‌توان دلیل آن را ثابت بودن شاعع پرتو دانست. چرا که در عمق‌های پایین تر شاعع لیزر تفاوتی نمی‌کند.